

Università degli Studi di Bergamo

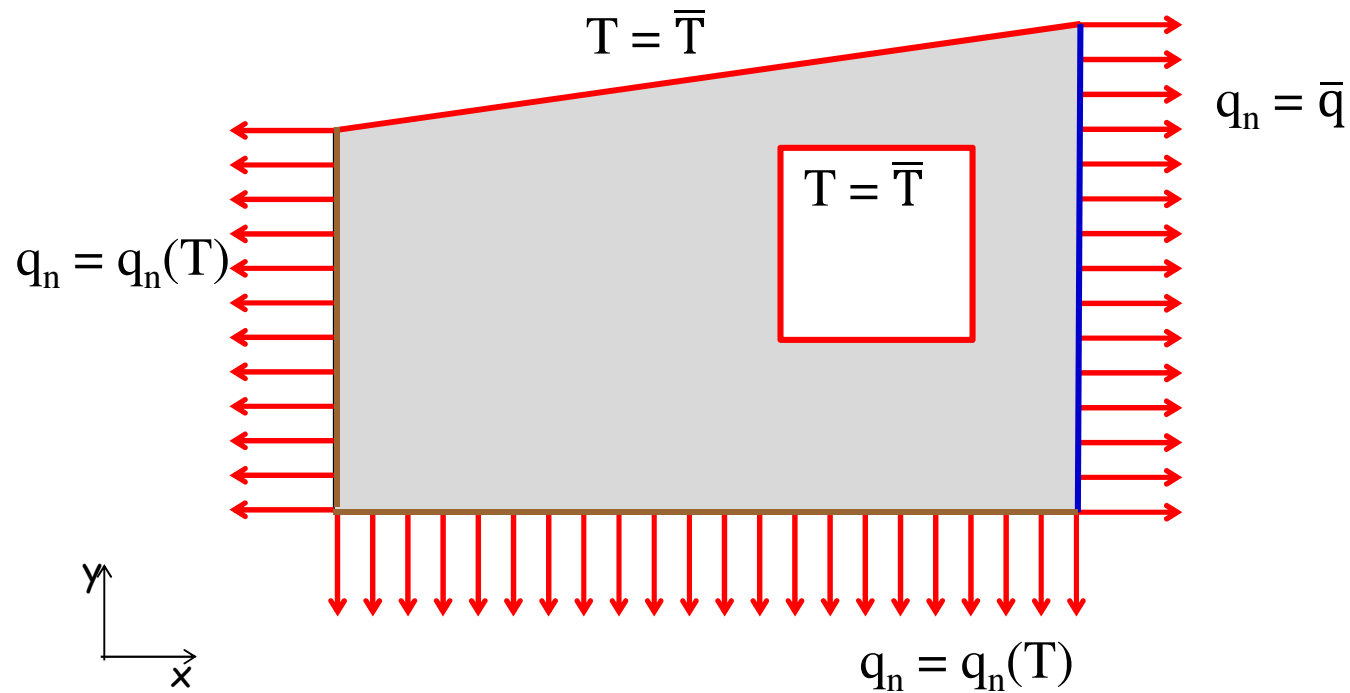
Dipartimento di Ingegneria

A.A. 2012-2013

Corso di Meccanica dei Solidi e delle Strutture

prof. Giuseppe Cocchetti

Analisi di problemi termici piani  
mediante elementi finiti  
isoparametrici quadrilateri ("a 4 nodi")



## Equazioni governanti il problema termico

$$\frac{\partial q_x}{\partial x} + \frac{\partial q_y}{\partial y} = \dot{Q} - c \rho \dot{T}$$

(conservazione  
energia/potenza)

in cui:

$$\underline{\mathbf{q}} = \begin{bmatrix} q_x \\ q_y \end{bmatrix} = \text{flusso termico [W/m}^2\text{]}$$

$$\dot{Q} = \text{potenza specifica immessa nel solido [W/m}^3\text{]}$$

$$c = \text{calore specifico [J/kg/K]}$$

$$\rho = \text{massa specifica [kg/m}^3\text{]}$$

$$T = \text{campo termico [K]}$$

## Equazioni governanti il problema termico

$$\underline{\mathbf{q}} = -\underline{\mathbf{k}} \underline{\nabla} T \quad (\text{legge di Fourier})$$

in cui:

$$\underline{\mathbf{k}} = \begin{bmatrix} k_{xx} & k_{xy} \\ k_{xy} & k_{yy} \end{bmatrix} = \underline{\mathbf{k}}^T = \text{matrice dei coefficienti} \\ \text{di conducibilità [W/m/K]}$$

$$\underline{\nabla} T = \begin{bmatrix} \frac{\partial T}{\partial x} \\ \frac{\partial T}{\partial y} \end{bmatrix}$$

## Equazioni governanti il problema termico

Condizioni al contorno considerate:

$$q_n = \bar{q} \quad \text{flusso termico assegnato sul contorno } S_q$$

$$T = \bar{T} \quad \text{temperatura assegnata sul contorno } S_T$$

$$q_n = h (T - T_\infty) \quad \text{flusso convettivo sul contorno } S_h$$

in cui:

$$q_n = q_x n_x + q_y n_y = \text{componente del flusso normale al contorno}$$

$$h = \text{coefficiente di convezione [W/m}^2\text{/K]}$$

$$T_\infty = \text{temperatura del fluido che lambisce la superficie}$$

## Equazioni governanti il problema termico

$$\left\{ \begin{array}{l} \frac{\partial q_x}{\partial x} + \frac{\partial q_y}{\partial y} = \dot{Q} - c \rho \dot{T} \\ \underline{\mathbf{q}} = -\underline{\mathbf{k}} \underline{\nabla} T \\ q_n = \bar{q} \quad \text{su } S_q \\ T = \bar{T} \quad \text{su } S_T \\ q_n = h (T - T_\infty) \quad \text{su } S_h \\ T(x, y, t=0) = T_0(x, y) \quad \text{in } V \quad (\text{condizione iniziale}) \end{array} \right.$$

## Formulazione "debole" del problema termico

$f(x,y)$  = "funzione test" (arbitraria, purché sufficientemente regolare)

$$\frac{\partial q_x}{\partial x} + \frac{\partial q_y}{\partial y} - \dot{Q} + c \rho \dot{T} = 0$$

$\Downarrow$

$$\int_V f(\underline{\mathbf{x}}) \left( \frac{\partial q_x}{\partial x} + \frac{\partial q_y}{\partial y} - \dot{Q} + c \rho \dot{T} \right) dV = 0 \quad \forall f(\underline{\mathbf{x}})$$

## Formulazione "debole" del problema termico

Applicando il lemma di Green si può scrivere:

$$\int_V f(\underline{\mathbf{x}}) \frac{\partial q_x}{\partial x} dV \equiv \int_S f(\underline{\mathbf{x}}) q_x n_x dS - \int_V \frac{\partial f}{\partial x} q_x dV$$

$$\int_V f(\underline{\mathbf{x}}) \frac{\partial q_y}{\partial y} dV \equiv \int_S f(\underline{\mathbf{x}}) q_y n_y dS - \int_V \frac{\partial f}{\partial y} q_y dV$$

da cui si ottiene:

$$\int_V f(\underline{\mathbf{x}}) \left( \frac{\partial q_x}{\partial x} + \frac{\partial q_y}{\partial y} \right) dV = \int_S f(\underline{\mathbf{x}}) \underbrace{(q_x n_x + q_y n_y)}_{q_n} dS - \int_V \underbrace{\left( \frac{\partial f}{\partial x} q_x + \frac{\partial f}{\partial y} q_y \right)}_{(\underline{\nabla} f)^T \underline{\mathbf{q}}} dV$$



## Formulazione "debole" del problema termico

Ne consegue che l'equazione di conservazione si può scrivere come:

$$\int_S f q_n dS - \int_V (\underline{\nabla} f)^T \underline{\mathbf{q}} dV + \int_V f(\underline{\mathbf{x}}) (-\dot{Q} + c \rho \dot{T}) dV = 0 \quad \forall f(\underline{\mathbf{x}})$$

Inserendo le restanti equazioni si ricava l'equazione governante il problema termico in forma debole:

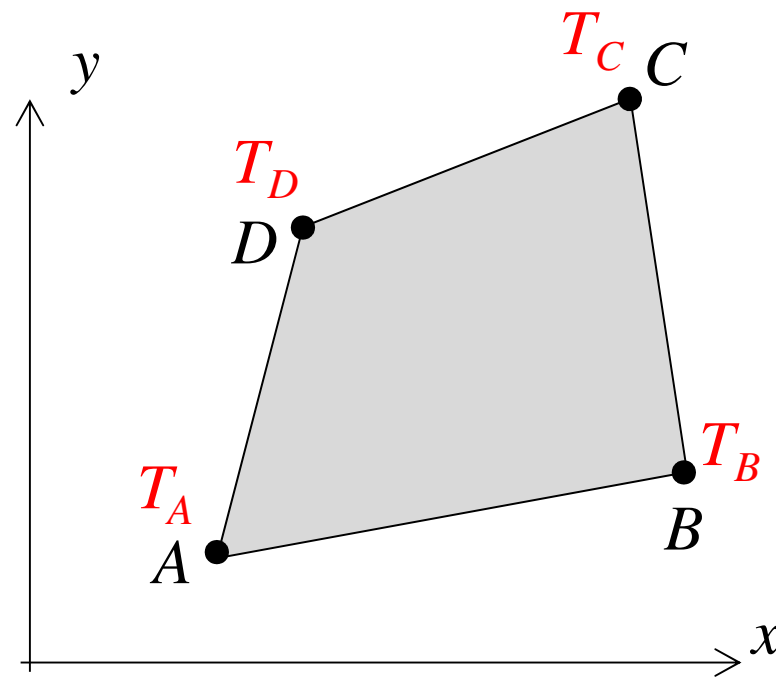
$$\begin{aligned} \int_{S_q} f \bar{q} dS + \int_{S_h} f h (T - T_\infty) dS + \int_{S_T} f q_n dS + \int_V (\underline{\nabla} f)^T \underline{\mathbf{k}} \underline{\nabla} T dV + \\ + \int_V (-\dot{Q} + c \rho \dot{T}) f dV = 0 \quad \forall f(\underline{\mathbf{x}}) \end{aligned}$$

## Formulazione "debole" del problema termico

Ri-ordinando i termini si ottiene:

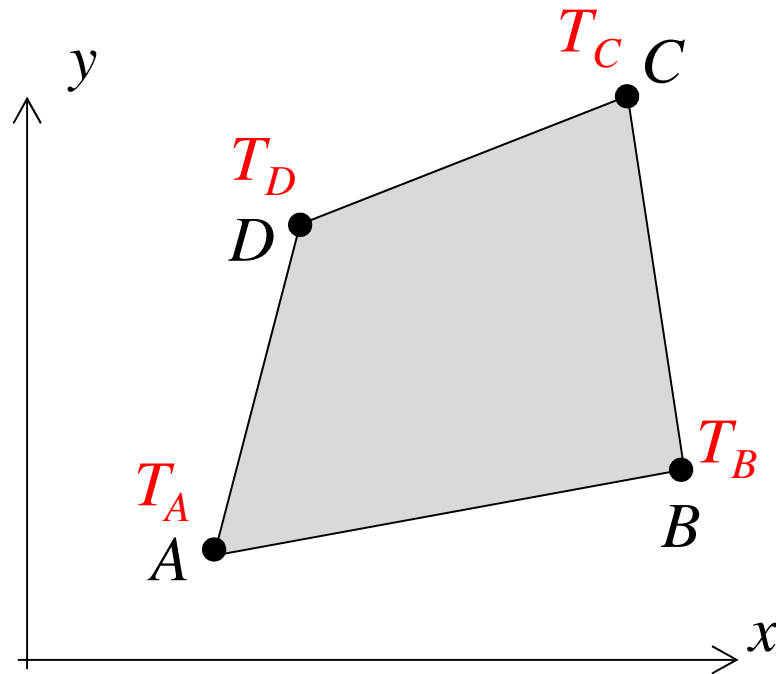
$$\begin{aligned} \int_V f c \rho \dot{T} dV + \int_V (\underline{\nabla} f)^T \underline{\underline{\mathbf{k}}} \underline{\nabla} T dV + \int_{S_h} f h T dS = \\ = \int_V f \dot{Q} dV - \int_{S_q} f \bar{q} dS + \int_{S_h} f h T_\infty dS - \int_{S_T} f q_n dS \quad \forall f(\underline{\mathbf{x}}) \end{aligned}$$

## Elemento finito quadrilatero ("a 4 nodi")



$$T(x, y, t) = T(\underline{\mathbf{x}}, t) = \Psi_A(\underline{\mathbf{x}})T_A(t) + \Psi_B(\underline{\mathbf{x}})T_B(t) + \\ + \Psi_C(\underline{\mathbf{x}})T_C(t) + \Psi_D(\underline{\mathbf{x}})T_D(t)$$

## Elemento finito quadrilatero ("a 4 nodi")

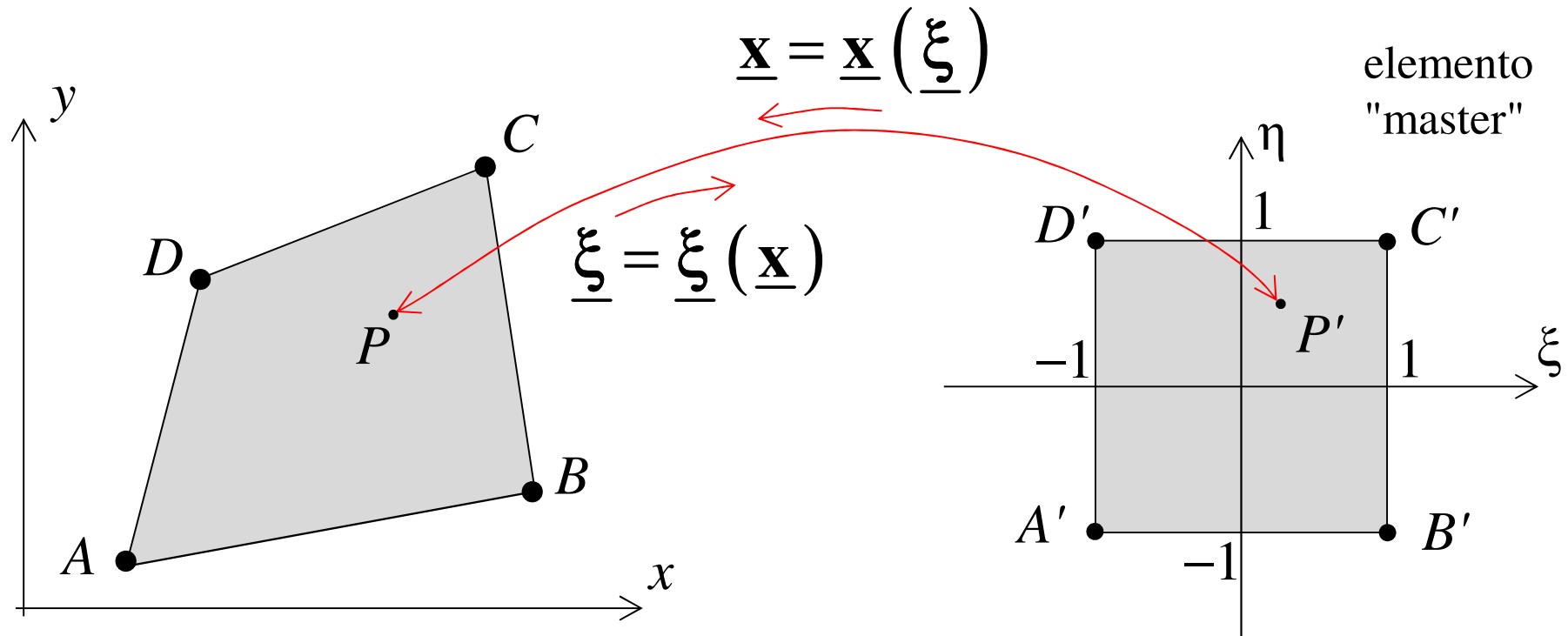


$$\underline{\underline{\Psi}} = \begin{bmatrix} \Psi_A(\underline{\mathbf{x}}) \\ \Psi_B(\underline{\mathbf{x}}) \\ \Psi_C(\underline{\mathbf{x}}) \\ \Psi_D(\underline{\mathbf{x}}) \end{bmatrix}$$

$$\underline{\mathbf{T}} = [T_A, T_B, T_C, T_D]^T$$

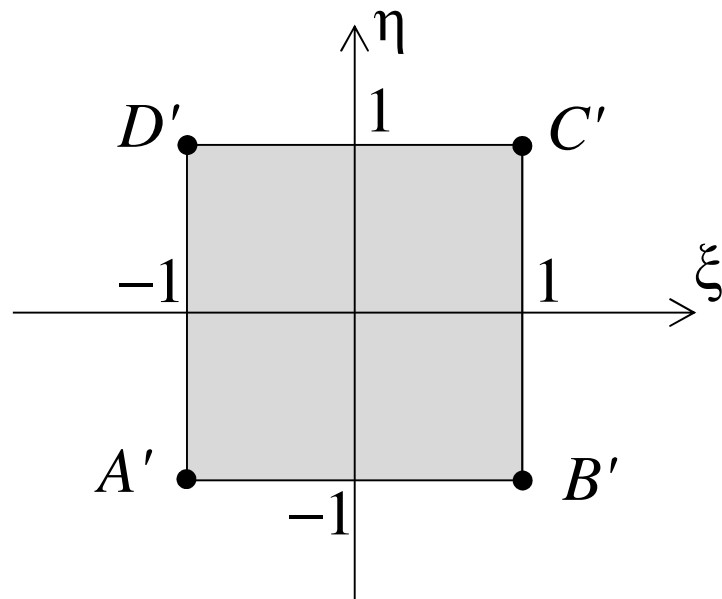
$$T(x, y, t) = \underline{\underline{\Psi}}^T(\underline{\mathbf{x}}) \underline{\mathbf{T}}(t)$$

## Descrizione della geometria ("mapping")



$$\begin{cases} x = x(\xi, \eta) \\ y = y(\xi, \eta) \end{cases} \Rightarrow \underline{\mathbf{x}} = \underline{\mathbf{x}}(\underline{\xi})$$

## Funzioni di forma dell'elemento "master"



$$\varphi_A(\underline{\xi}) = (1 - \xi)(1 - \eta)/4$$

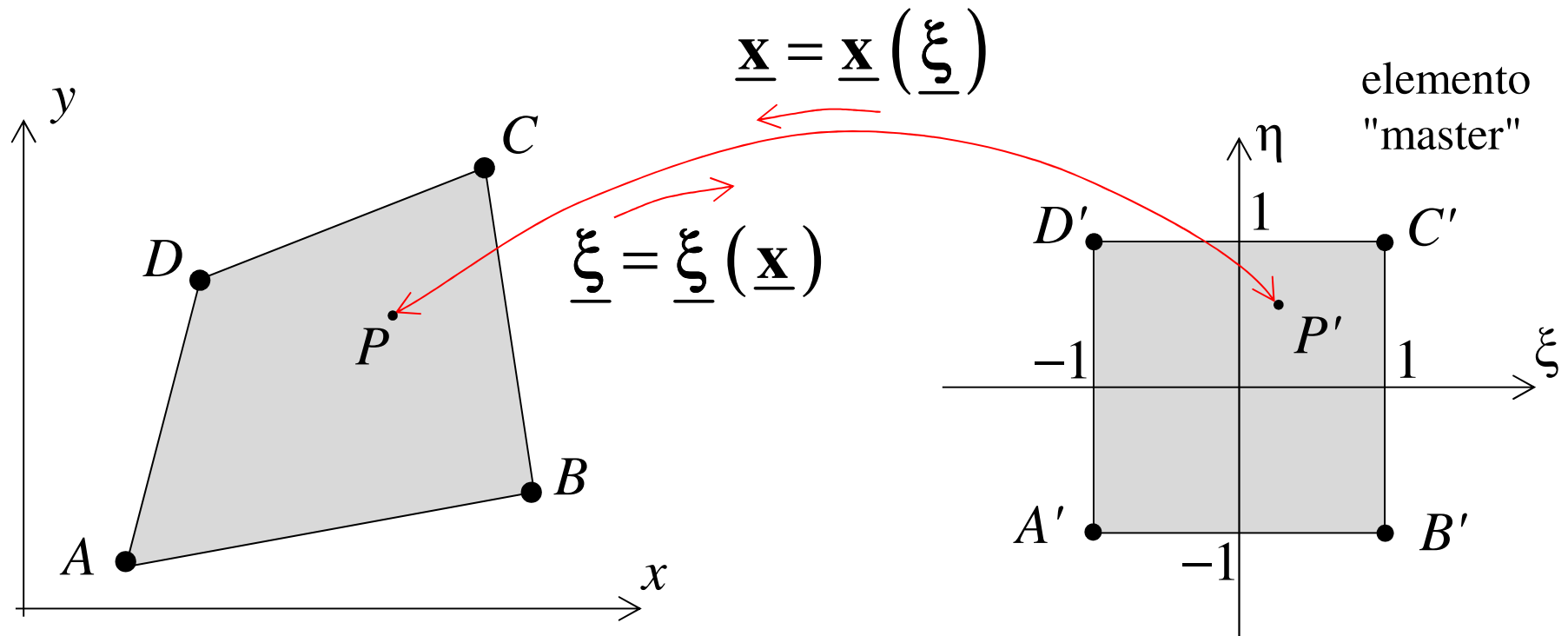
$$\varphi_B(\underline{\xi}) = (1 + \xi)(1 - \eta)/4$$

$$\varphi_C(\underline{\xi}) = (1 + \xi)(1 + \eta)/4$$

$$\varphi_D(\underline{\xi}) = (1 - \xi)(1 + \eta)/4$$

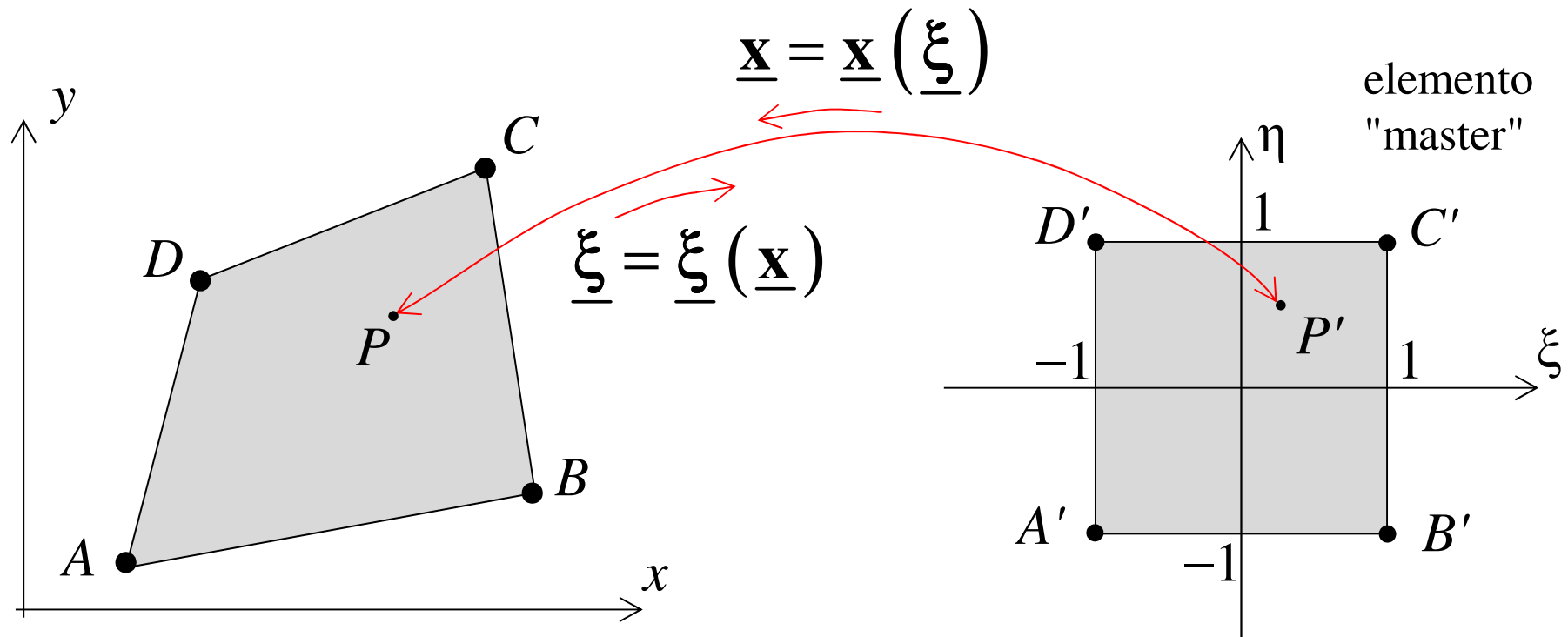
$$\underline{\varphi} = \left[ \varphi_A(\underline{\xi}), \varphi_B(\underline{\xi}), \varphi_C(\underline{\xi}), \varphi_D(\underline{\xi}) \right]^T$$

## Funzioni di forma dell'elemento quadrilatero



$$\Psi_j(\underline{x}) \triangleq \varphi_j[\underline{\xi}(\underline{x})] \quad j = A, B, C, D \quad \Rightarrow \quad \underline{\Psi}(\underline{x}) \triangleq \underline{\varphi}[\underline{\xi}(\underline{x})]$$

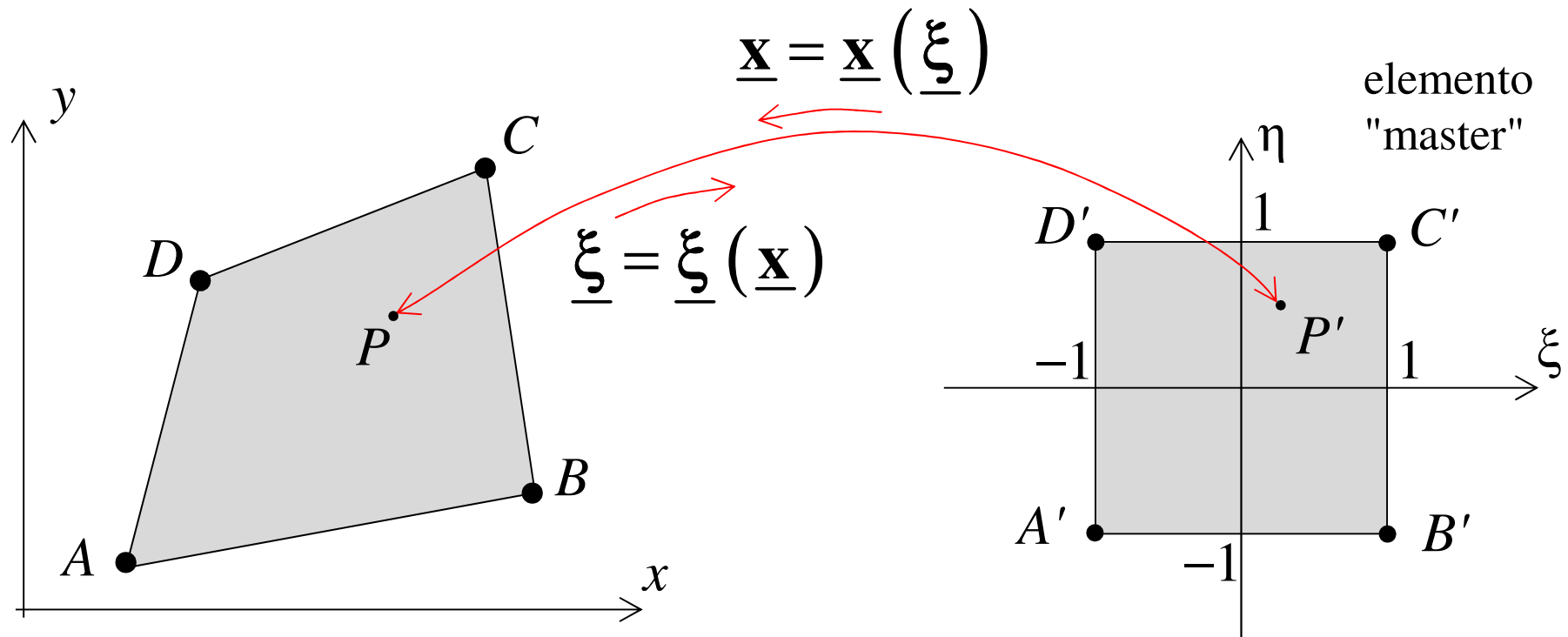
## Descrizione della geometria ("mapping")



$$\underline{\mathbf{x}} = \underline{\mathbf{x}}(\underline{\xi}) \Leftrightarrow \begin{cases} x = x(\xi, \eta) = \varphi_A(\underline{\xi}) x_A + \varphi_B(\underline{\xi}) x_B + \varphi_C(\underline{\xi}) x_C + \varphi_D(\underline{\xi}) x_D \\ y = y(\xi, \eta) = \varphi_A(\underline{\xi}) y_A + \varphi_B(\underline{\xi}) y_B + \varphi_C(\underline{\xi}) y_C + \varphi_D(\underline{\xi}) y_D \end{cases}$$



## Descrizione della geometria ("mapping")



$$\left. \begin{aligned} \underline{\mathbf{X}} &\triangleq [x_A, x_B, x_C, x_D]^T \\ \underline{\mathbf{Y}} &\triangleq [y_A, y_B, y_C, y_D]^T \end{aligned} \right\} \Rightarrow \underline{\mathbf{x}} = \underline{\mathbf{x}}(\underline{\xi}) = \begin{cases} x = x(\xi, \eta) = \underline{\boldsymbol{\varphi}}^T(\underline{\xi}) \underline{\mathbf{X}} \\ y = y(\xi, \eta) = \underline{\boldsymbol{\varphi}}^T(\underline{\xi}) \underline{\mathbf{Y}} \end{cases}$$

## Descrizione della geometria ("mapping")

$$\left\{ \begin{array}{l} dx = \frac{\partial x(\xi, \eta)}{\partial \xi} d\xi + \frac{\partial x(\xi, \eta)}{\partial \eta} d\eta \\ dy = \frac{\partial y(\xi, \eta)}{\partial \xi} d\xi + \frac{\partial y(\xi, \eta)}{\partial \eta} d\eta \end{array} \right. \Rightarrow \begin{bmatrix} dx \\ dy \end{bmatrix} = \underbrace{\begin{bmatrix} \frac{\partial x(\xi, \eta)}{\partial \xi} & \frac{\partial x(\xi, \eta)}{\partial \eta} \\ \frac{\partial y(\xi, \eta)}{\partial \xi} & \frac{\partial y(\xi, \eta)}{\partial \eta} \end{bmatrix}}_{\underline{\underline{\mathbf{j}}} = \text{matrice jacobiana della trasformazione}} \begin{bmatrix} d\xi \\ d\eta \end{bmatrix}$$

$$\det(\underline{\underline{\mathbf{j}}}) = \underline{\underline{\mathbf{X}}}^T \underline{\underline{\mathbf{Q}}} \underline{\underline{\mathbf{Y}}},$$

$$\underline{\underline{\mathbf{Q}}} \triangleq \frac{\partial \underline{\underline{\boldsymbol{\varphi}}}(\underline{\underline{\xi}})}{\partial \xi} \frac{\partial \underline{\underline{\boldsymbol{\varphi}}}^T(\underline{\underline{\xi}})}{\partial \eta} - \frac{\partial \underline{\underline{\boldsymbol{\varphi}}}(\underline{\underline{\xi}})}{\partial \eta} \frac{\partial \underline{\underline{\boldsymbol{\varphi}}}^T(\underline{\underline{\xi}})}{\partial \xi} = -\underline{\underline{\mathbf{Q}}}^T$$

## Gradienti e matrice di compatibilità

$$\frac{\partial T}{\partial x} = \frac{\partial \underline{\Psi}^T(\underline{\mathbf{x}})}{\partial x} \underline{\mathbf{T}},$$

$$\frac{\partial T}{\partial y} = \frac{\partial \underline{\Psi}^T(\underline{\mathbf{x}})}{\partial y} \underline{\mathbf{T}}$$

$$\begin{bmatrix} \frac{\partial T}{\partial x} \\ \frac{\partial T}{\partial y} \end{bmatrix} = \underbrace{\begin{bmatrix} \frac{\partial \underline{\Psi}^T(\underline{\mathbf{x}})}{\partial x} \\ \frac{\partial \underline{\Psi}^T(\underline{\mathbf{x}})}{\partial y} \end{bmatrix}}_{\underline{\mathbf{B}}} \underline{\mathbf{T}}$$

## Matrice di compatibilità

$$\frac{\partial \underline{\varphi}^T(\underline{\xi})}{\partial \xi} = \frac{\partial \underline{\Psi}^T[\underline{\mathbf{x}}(\underline{\xi})]}{\partial \xi} = \frac{\partial \underline{\Psi}^T}{\partial x} \frac{\partial x}{\partial \xi} + \frac{\partial \underline{\Psi}^T}{\partial y} \frac{\partial y}{\partial \xi}$$

$$\frac{\partial \underline{\varphi}^T(\underline{\xi})}{\partial \eta} = \frac{\partial \underline{\Psi}^T[\underline{\mathbf{x}}(\underline{\xi})]}{\partial \eta} = \frac{\partial \underline{\Psi}^T}{\partial x} \frac{\partial x}{\partial \eta} + \frac{\partial \underline{\Psi}^T}{\partial y} \frac{\partial y}{\partial \eta}$$

$$\begin{bmatrix} \frac{\partial \underline{\varphi}^T(\underline{\xi})}{\partial \xi} \\ \frac{\partial \underline{\varphi}^T(\underline{\xi})}{\partial \eta} \end{bmatrix} = \begin{bmatrix} \frac{\partial x}{\partial \xi} & \frac{\partial y}{\partial \xi} \\ \frac{\partial x}{\partial \eta} & \frac{\partial y}{\partial \eta} \end{bmatrix} \begin{bmatrix} \frac{\partial \underline{\Psi}^T}{\partial x} \\ \frac{\partial \underline{\Psi}^T}{\partial y} \end{bmatrix}$$

## Matrice di compatibilità

$$\begin{bmatrix} \frac{\partial \underline{\Psi}^T}{\partial x} \\ \frac{\partial \underline{\Psi}^T}{\partial y} \end{bmatrix} = \begin{bmatrix} \frac{\partial x}{\partial \xi} & \frac{\partial y}{\partial \xi} \\ \frac{\partial x}{\partial \eta} & \frac{\partial y}{\partial \eta} \end{bmatrix}^{-1} \begin{bmatrix} \frac{\partial \underline{\Phi}^T(\underline{\xi})}{\partial \xi} \\ \frac{\partial \underline{\Phi}^T(\underline{\xi})}{\partial \eta} \end{bmatrix} = \frac{1}{\det(\underline{\mathbf{j}}^T)} \begin{bmatrix} \frac{\partial y}{\partial \eta} & -\frac{\partial y}{\partial \xi} \\ -\frac{\partial x}{\partial \eta} & \frac{\partial x}{\partial \xi} \end{bmatrix} \begin{bmatrix} \frac{\partial \underline{\Phi}^T(\underline{\xi})}{\partial \xi} \\ \frac{\partial \underline{\Phi}^T(\underline{\xi})}{\partial \eta} \end{bmatrix}$$

$$\Rightarrow \begin{cases} \frac{\partial \underline{\Psi}^T}{\partial x} = \frac{1}{\det(\underline{\mathbf{j}}^T)} \left[ \frac{\partial y}{\partial \eta} \frac{\partial \underline{\Phi}^T(\underline{\xi})}{\partial \xi} - \frac{\partial y}{\partial \xi} \frac{\partial \underline{\Phi}^T(\underline{\xi})}{\partial \eta} \right] = -\frac{\underline{\mathbf{Y}}^T \underline{\mathbf{Q}}}{\underline{\mathbf{X}}^T \underline{\mathbf{Q}} \underline{\mathbf{Y}}} \\ \frac{\partial \underline{\Psi}^T}{\partial y} = \frac{1}{\det(\underline{\mathbf{j}}^T)} \left[ -\frac{\partial x}{\partial \eta} \frac{\partial \underline{\Phi}^T(\underline{\xi})}{\partial \xi} + \frac{\partial x}{\partial \xi} \frac{\partial \underline{\Phi}^T(\underline{\xi})}{\partial \eta} \right] = \frac{\underline{\mathbf{X}}^T \underline{\mathbf{Q}}}{\underline{\mathbf{X}}^T \underline{\mathbf{Q}} \underline{\mathbf{Y}}} \end{cases}$$

## Matrice di compatibilità

$$\begin{bmatrix} \frac{\partial T}{\partial x} \\ \frac{\partial T}{\partial y} \end{bmatrix} = \frac{1}{\underline{\underline{\mathbf{X}^T \mathbf{Q} \mathbf{Y}}}} \begin{bmatrix} -\underline{\underline{\mathbf{Y}^T \mathbf{Q}}} \\ \underline{\underline{\mathbf{X}^T \mathbf{Q}}} \end{bmatrix} \underline{\underline{\mathbf{T}}} = \frac{1}{\underline{\underline{\mathbf{X}^T \mathbf{Q} \mathbf{Y}}}} \begin{bmatrix} -\underline{\underline{\mathbf{Y}^T}} \\ \underline{\underline{\mathbf{X}^T}} \end{bmatrix} \underline{\underline{\mathbf{Q} \mathbf{T}}} = \underline{\underline{\mathbf{B}}}(\underline{\underline{\xi}}) \underline{\underline{\mathbf{T}}}(t)$$

$$\underline{\underline{\mathbf{B}}}(\underline{\underline{\xi}}) = \frac{1}{\underline{\underline{\mathbf{X}^T \mathbf{Q} \mathbf{Y}}}} \begin{bmatrix} -\underline{\underline{\mathbf{Y}^T}} \\ \underline{\underline{\mathbf{X}^T}} \end{bmatrix} \underline{\underline{\mathbf{Q}}}$$

## Formulazione "debole" del problema termico

Dalla slide numero 9:

$$\begin{aligned} \int_V f c \rho \dot{T} dV + \int_V (\underline{\nabla} f)^T \underline{\underline{\mathbf{k}}} \underline{\nabla} T dV + \int_{S_h} f h T dS = \\ = \int_V f \dot{Q} dV - \int_{S_q} f \bar{q} dS + \int_{S_h} f h T_\infty dS - \int_{S_T} f q_n dS \quad \forall f(\underline{\mathbf{x}}) \end{aligned}$$

## Formulazione "debole" del problema termico

Introducendo una suddivisione ("discretizzazione") in  $N_{EF}$  elementi finiti si ha:

$$T_e(x, y, t) = \underline{\Psi}_e^T(\underline{\mathbf{x}}) \underline{\mathbf{T}}_e(t)$$

$$\begin{aligned} \sum_{e=1}^{N_{EF}} \int_{V_e} f c \rho \dot{T}_e dV + \sum_{e=1}^{N_{EF}} \int_{V_e} (\underline{\nabla} f)^T \underline{\mathbf{k}} \underline{\nabla} T_e dV + \sum_{e=1}^{N_{EF}} \int_{S_h^e} f h T_e dS = \\ = \int_V f \dot{Q} dV - \int_{S_q} f \bar{q} dS + \int_{S_h} f h T_\infty dS - \int_{S_T} f q_n dS \quad \forall f(\underline{\mathbf{x}}) \end{aligned}$$



## Formulazione "debole" del problema termico

Introducendo una suddivisione ("discretizzazione") in  $N_{EF}$  elementi finiti si ha:

$$T_e(x, y, t) = \underline{\Psi}_e^T(\underline{\mathbf{x}}) \underline{\mathbf{T}}_e(t)$$

$$\begin{aligned} & \sum_{e=1}^{N_{EF}} \int_{V_e} f c \rho \underline{\Psi}_e^T(\underline{\mathbf{x}}) dV \dot{\underline{\mathbf{T}}}_e + \sum_{e=1}^{N_{EF}} \int_{V_e} (\underline{\nabla} f)^T \underline{\mathbf{k}} \underbrace{\underline{\nabla} \underline{\Psi}_e^T(\underline{\mathbf{x}})}_{\underline{\mathbf{B}}_e} dV \underline{\mathbf{T}}_e + \\ & + \sum_{e=1}^{N_{EF}} \int_{S_h^e} f h \underline{\Psi}_e^T(\underline{\mathbf{x}}) dS \underline{\mathbf{T}}_e = \\ & = \int_V f \dot{Q} dV - \int_{S_q} f \bar{q} dS + \int_{S_h} f h T_\infty dS - \int_{S_T} f q_n dS \quad \forall f(\underline{\mathbf{x}}) \end{aligned}$$

## Scelta delle funzioni test

L'arbitrarietà della funzione  $f(\underline{x})$  può suggerire, ad esempio, una scelta di tipo polinomiale, ottenendo un'equazione indipendente per ogni termine.

Se il numero di incognite è  $N_{\text{inc}}$ , per formare un sistema determinato occorre considerare  $N_{\text{inc}}$  termini polinomiali.

$$\begin{array}{cccc} & & 1 & \\ & & & \\ & x & & y \\ & & & \\ x^2 & & xy & & y^2 \\ & & & \\ x^3 & x^2y & xy^2 & & y^3 \\ & & & \\ \dots & & & \end{array}$$

## Scelta delle funzioni test

L'arbitrarietà della funzione  $f(\underline{\mathbf{x}})$  può suggerire, ad esempio, una scelta di tipo polinomiale, ottenendo un'equazione indipendente per ogni termine.

Se il numero di incognite è  $N_{\text{inc}}$ , per formare un sistema determinato occorre considerare  $N_{\text{inc}}$  termini polinomiali.

$$f_{0,0} = 1 = \text{cost.}$$

$$\begin{aligned} \sum_{e=1}^{N_{EF}} \int_{V_e} c \rho \underline{\Psi}_e^T(\underline{\mathbf{x}}) dV \underline{\dot{\mathbf{T}}}_e + \sum_{e=1}^{N_{EF}} \int_{S_h^e} h \underline{\Psi}_e^T(\underline{\mathbf{x}}) dS \underline{\mathbf{T}}_e = \\ = \int_V \dot{Q} dV - \int_{S_q} \bar{q} dS + \int_{S_h} h T_\infty dS - \int_{S_T} q_n dS \end{aligned}$$

## Scelta delle funzioni test

L'arbitrarietà della funzione  $f(\underline{\mathbf{x}})$  può suggerire, ad esempio, una scelta di tipo polinomiale, ottenendo un'equazione indipendente per ogni termine.

Se il numero di incognite è  $N_{\text{inc}}$ , per formare un sistema determinato occorre considerare  $N_{\text{inc}}$  termini polinomiali.

$$f_{1,0} = x$$

$$\begin{aligned} & \sum_{e=1}^{N_{EF}} \int_{V_e} x c \rho \underline{\Psi}_e^T(\underline{\mathbf{x}}) dV \underline{\dot{\mathbf{T}}}_e + \sum_{e=1}^{N_{EF}} \int_{V_e} [1, 0] \underline{\mathbf{k}} \underline{\nabla} \underline{\Psi}_e^T(\underline{\mathbf{x}}) dV \underline{\mathbf{T}}_e + \\ & + \sum_{e=1}^{N_{EF}} \int_{S_h^e} x h \underline{\Psi}_e^T(\underline{\mathbf{x}}) dS \underline{\mathbf{T}}_e = \\ & = \int_V x \dot{Q} dV - \int_{S_q} x \bar{q} dS + \int_{S_h} x h T_\infty dS - \int_{S_T} x q_n dS \end{aligned}$$

## Scelta delle funzioni test

L'arbitrarietà della funzione  $f(\underline{\mathbf{x}})$  può suggerire, ad esempio, una scelta di tipo polinomiale, ottenendo un'equazione indipendente per ogni termine.

Se il numero di incognite è  $N_{\text{inc}}$ , per formare un sistema determinato occorre considerare  $N_{\text{inc}}$  termini polinomiali.

$$f_{0,1} = y$$

$$\begin{aligned} & \sum_{e=1}^{N_{EF}} \int_{V_e} y c \rho \underline{\Psi}_e^T(\underline{\mathbf{x}}) dV \underline{\mathbf{T}}_e + \sum_{e=1}^{N_{EF}} \int_{V_e} [0,1] \underline{\mathbf{k}} \underline{\nabla} \underline{\Psi}_e^T(\underline{\mathbf{x}}) dV \underline{\mathbf{T}}_e + \\ & + \sum_{e=1}^{N_{EF}} \int_{S_h^e} y h \underline{\Psi}_e^T(\underline{\mathbf{x}}) dS \underline{\mathbf{T}}_e = \\ & = \int_V y \dot{Q} dV - \int_{S_q} y \bar{q} dS + \int_{S_h} y h T_\infty dS - \int_{S_T} y q_n dS \end{aligned}$$

## Scelta delle funzioni test

L'arbitrarietà della funzione  $f(\underline{\mathbf{x}})$  può suggerire, ad esempio, una scelta di tipo polinomiale, ottenendo un'equazione indipendente per ogni termine.

Se il numero di incognite è  $N_{\text{inc}}$ , per formare un sistema determinato occorre considerare  $N_{\text{inc}}$  termini polinomiali.

$$f_{2,0} = x^2$$

$$\begin{aligned} & \sum_{e=1}^{N_{EF}} \int_{V_e} x^2 c \rho \underline{\Psi}_e^T(\underline{\mathbf{x}}) dV \underline{\dot{\mathbf{T}}}_e + \sum_{e=1}^{N_{EF}} \int_{V_e} [2x, 0] \underline{\mathbf{k}} \underline{\nabla} \underline{\Psi}_e^T(\underline{\mathbf{x}}) dV \underline{\mathbf{T}}_e + \\ & + \sum_{e=1}^{N_{EF}} \int_{S_h^e} x^2 h \underline{\Psi}_e^T(\underline{\mathbf{x}}) dS \underline{\mathbf{T}}_e = \\ & = \int_V x^2 \dot{Q} dV - \int_{S_q} x^2 \bar{q} dS + \int_{S_h} x^2 h T_\infty dS - \int_{S_T} x^2 q_n dS \end{aligned}$$

## Scelta delle funzioni test

L'arbitrarietà della funzione  $f(\underline{\mathbf{x}})$  può suggerire, ad esempio, una scelta di tipo polinomiale, ottenendo un'equazione indipendente per ogni termine.

Se il numero di incognite è  $N_{\text{inc}}$ , per formare un sistema determinato occorre considerare  $N_{\text{inc}}$  termini polinomiali.

$$f_{1,1} = xy$$

$$\begin{aligned} & \sum_{e=1}^{N_{EF}} \int_{V_e} xy c \rho \underline{\Psi}_e^T(\underline{\mathbf{x}}) dV \underline{\mathbf{T}}_e + \sum_{e=1}^{N_{EF}} \int_{V_e} [y, x] \underline{\mathbf{k}} \underline{\nabla} \underline{\Psi}_e^T(\underline{\mathbf{x}}) dV \underline{\mathbf{T}}_e + \\ & + \sum_{e=1}^{N_{EF}} \int_{S_h^e} xy h \underline{\Psi}_e^T(\underline{\mathbf{x}}) dS \underline{\mathbf{T}}_e = \\ & = \int_V xy \dot{Q} dV - \int_{S_q} xy \bar{q} dS + \int_{S_h} xy h T_\infty dS - \int_{S_T} xy q_n dS \end{aligned}$$

## Scelta delle funzioni test

In generale si può scegliere:  $f_{r,s} = x^r y^s$

$$\begin{aligned}
 & \sum_{e=1}^{N_{EF}} \int_{V_e} x^r y^s c \rho \underline{\Psi}_e^T(\underline{\mathbf{x}}) dV \underline{\mathbf{T}}_e + \\
 & + \sum_{e=1}^{N_{EF}} \int_{V_e} \left[ r x^{r-1} y^s, s x^r y^{s-1} \right] \underline{\mathbf{k}} \underline{\nabla} \underline{\Psi}_e^T(\underline{\mathbf{x}}) dV \underline{\mathbf{T}}_e + \\
 & + \sum_{e=1}^{N_{EF}} \int_{S_h^e} x^r y^s h \underline{\Psi}_e^T(\underline{\mathbf{x}}) dS \underline{\mathbf{T}}_e = \\
 & = \int_V x^r y^s \dot{Q} dV - \int_{S_q} x^r y^s \bar{q} dS + \int_{S_h} x^r y^s h T_\infty dS - \int_{S_T} x^r y^s q_n dS
 \end{aligned}$$



## Metodo dei "residui pesati"

In alternativa, visto che i requisiti di regolarità di  $f(\underline{\mathbf{x}})$  sono gli stessi richiesti alle funzioni  $T_e$  e che il numero di funzioni test indipendenti deve essere pari a  $N_{\text{inc}}$  (per avere  $N_{\text{inc}}$  equazioni), in analogia a quanto fatto per  $T_e$  per ogni elemento finito si può assumere:

$$f_e(x, y) = \underline{\phi}_e^T(\underline{\mathbf{x}}) \underline{\mathbf{F}}_e = \underline{\mathbf{F}}_e^T \underline{\phi}_e(\underline{\mathbf{x}})$$

con  $\underline{\mathbf{F}}_e$  = vettore che raccoglie i valori nodali di  $f_e(\underline{\mathbf{x}})$

## Metodo dei "residui pesati"

Sostituendo nell'equazione governante si ottiene la seguente espressione:

$$\begin{aligned}
 & \sum_{e=1}^{N_{EF}} \underline{\mathbf{F}}_e^T \int_{V_e} \underline{\phi}_e(\underline{\mathbf{x}}) c \rho \underline{\Psi}_e^T(\underline{\mathbf{x}}) dV \dot{\underline{\mathbf{T}}}_e + \\
 & + \sum_{e=1}^{N_{EF}} \underline{\mathbf{F}}_e^T \int_{V_e} \left( \underline{\nabla} \underline{\phi}_e^T(\underline{\mathbf{x}}) \right)^T \underline{\mathbf{k}} \underline{\mathbf{B}}_e dV \underline{\mathbf{T}}_e + \\
 & + \sum_{e=1}^{N_{EF}} \underline{\mathbf{F}}_e^T \int_{S_h^e} \underline{\phi}_e(\underline{\mathbf{x}}) h \underline{\Psi}_e^T(\underline{\mathbf{x}}) dS \underline{\mathbf{T}}_e = \\
 & = \sum_{e=1}^{N_{EF}} \underline{\mathbf{F}}_e^T \int_{V_e} \underline{\phi}_e(\underline{\mathbf{x}}) \dot{Q} dV - \underline{\mathbf{F}}_e^T \int_{S_q^e} \underline{\phi}_e(\underline{\mathbf{x}}) \bar{q} dS + \\
 & + \sum_{e=1}^{N_{EF}} \underline{\mathbf{F}}_e^T \int_{S_h^e} \underline{\phi}_e(\underline{\mathbf{x}}) h T_\infty dS - \underline{\mathbf{F}}_e^T \int_{S_T^e} \underline{\phi}_e(\underline{\mathbf{x}}) q_n dS \quad \forall \underline{\mathbf{F}}_e
 \end{aligned}$$

## Metodo dei "residui pesati"

in cui si possono definire:

$$\underline{\underline{\mathbf{C}}}_e = \int_{V_e} \underline{\phi}_e(\underline{\mathbf{x}}) c \rho \underline{\Psi}_e^T(\underline{\mathbf{x}}) dV = \text{matrice di capacità termica}$$

$$\underline{\underline{\mathbf{K}}}_e = \int_{V_e} \left( \underline{\nabla} \underline{\phi}_e^T(\underline{\mathbf{x}}) \right)^T \underline{\underline{\mathbf{k}}} \underline{\nabla} \underline{\Psi}_e^T(\underline{\mathbf{x}}) dV = \text{matrice di conducibilità termica}$$

$$\underline{\underline{\mathbf{H}}}_e = \int_{S_h^e} \underline{\phi}_e(\underline{\mathbf{x}}) h \underline{\Psi}_e^T(\underline{\mathbf{x}}) dS = \text{matrice di convezione}$$

## Metodo dei "residui pesati"

in cui si possono definire:

$$\underline{\dot{\mathbf{Q}}}_e = \int_{V_e} \underline{\phi}_e(\underline{\mathbf{x}}) \dot{Q} dV = \text{vettore della potenza immessa} \\ \text{(nell'elemento finito)}$$

$$\underline{\bar{\mathbf{Q}}}_e = \int_{S_q^e} \underline{\phi}_e(\underline{\mathbf{x}}) \bar{q} dS = \text{vettore di flusso assegnato sull'elemento}$$

$$\underline{\mathbf{Q}}_\infty^e = \int_{S_h^e} \underline{\phi}_e(\underline{\mathbf{x}}) h T_\infty dS = \text{vettore di flusso convettivo limite}$$

$$\underline{\mathbf{Q}}_n^e = \int_{S_T} \underline{\phi}_e(\underline{\mathbf{x}}) q_n dS = \text{vettore di flusso incognito sull'elemento}$$

## Metodo dei "residui pesati"

da cui si ricava:

$$\begin{aligned}
 \sum_{e=1}^{N_{EF}} \underline{\mathbf{F}}_e^T \underline{\mathbf{C}}_e \dot{\underline{\mathbf{T}}}_e + \sum_{e=1}^{N_{EF}} \underline{\mathbf{F}}_e^T \underline{\mathbf{K}}_e \underline{\mathbf{T}}_e + \sum_{e=1}^{N_{EF}} \underline{\mathbf{F}}_e^T \underline{\mathbf{H}}_e \underline{\mathbf{T}}_e = \\
 = \sum_{e=1}^{N_{EF}} \underline{\mathbf{F}}_e^T \left( \dot{\underline{\mathbf{Q}}}_e - \bar{\underline{\mathbf{Q}}}_e + \underline{\mathbf{Q}}_\infty^e - \underline{\mathbf{Q}}_n^e \right) \quad \forall \underline{\mathbf{F}}_e
 \end{aligned}$$

## Metodo di Galerkin'

Se si assumono le funzioni di interpolazione della funzione test identiche alle funzioni di interpolazione del campo di temperatura:

$$\underline{\phi}_e(\underline{\mathbf{x}}) \equiv \underline{\Psi}_e(\underline{\mathbf{x}})$$

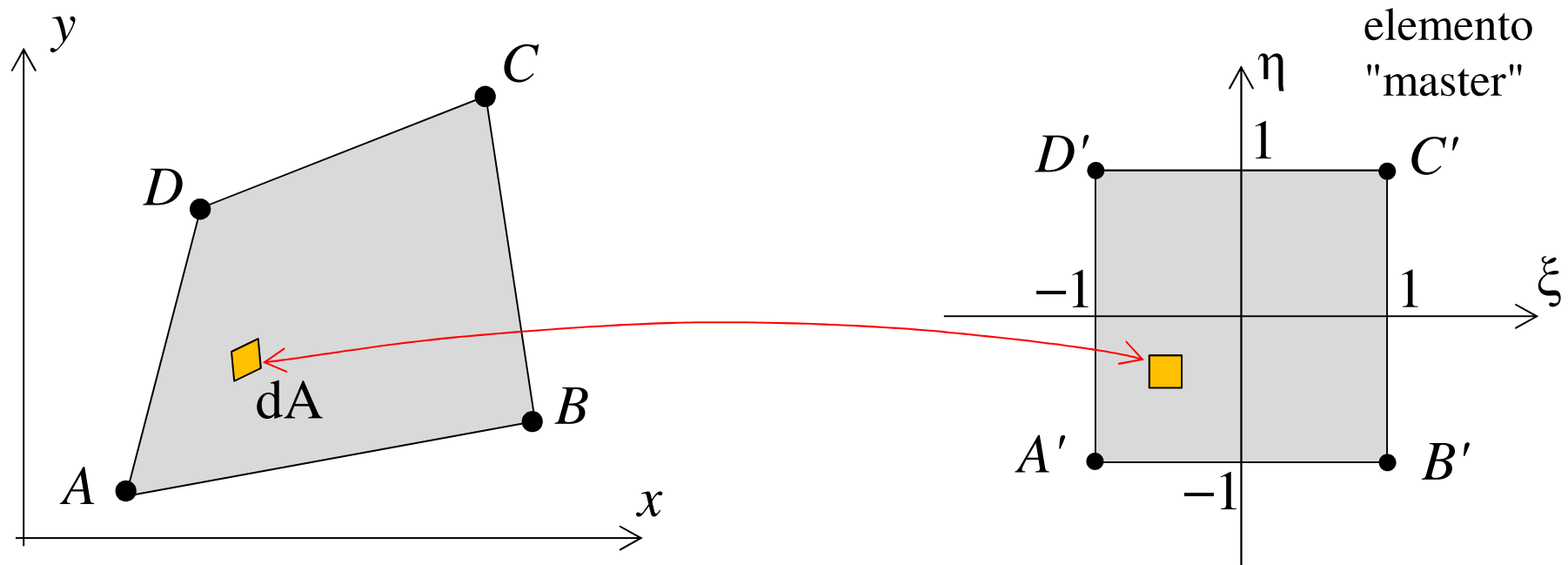
le tre matrici governanti il sistema divengono simmetriche:

$$\underline{\underline{\mathbf{C}}}_e = \int_{V_e} \underline{\Psi}_e(\underline{\mathbf{x}}) c \rho \underline{\Psi}_e^T(\underline{\mathbf{x}}) dV = \underline{\underline{\mathbf{C}}}_e^T$$

$$\underline{\underline{\mathbf{K}}}_e = \int_{V_e} \left( \underline{\nabla} \underline{\Psi}_e^T(\underline{\mathbf{x}}) \right)^T \underline{\underline{\mathbf{k}}} \underline{\nabla} \underline{\Psi}_e^T(\underline{\mathbf{x}}) dV = \int_{V_e} \underline{\underline{\mathbf{B}}}_e^T \underline{\underline{\mathbf{k}}} \underline{\underline{\mathbf{B}}}_e dV = \underline{\underline{\mathbf{K}}}_e^T$$

$$\underline{\underline{\mathbf{H}}}_e = \int_{S_h^e} h \underline{\Psi}_e(\underline{\mathbf{x}}) \underline{\Psi}_e^T(\underline{\mathbf{x}}) dS = \underline{\underline{\mathbf{H}}}_e^T$$

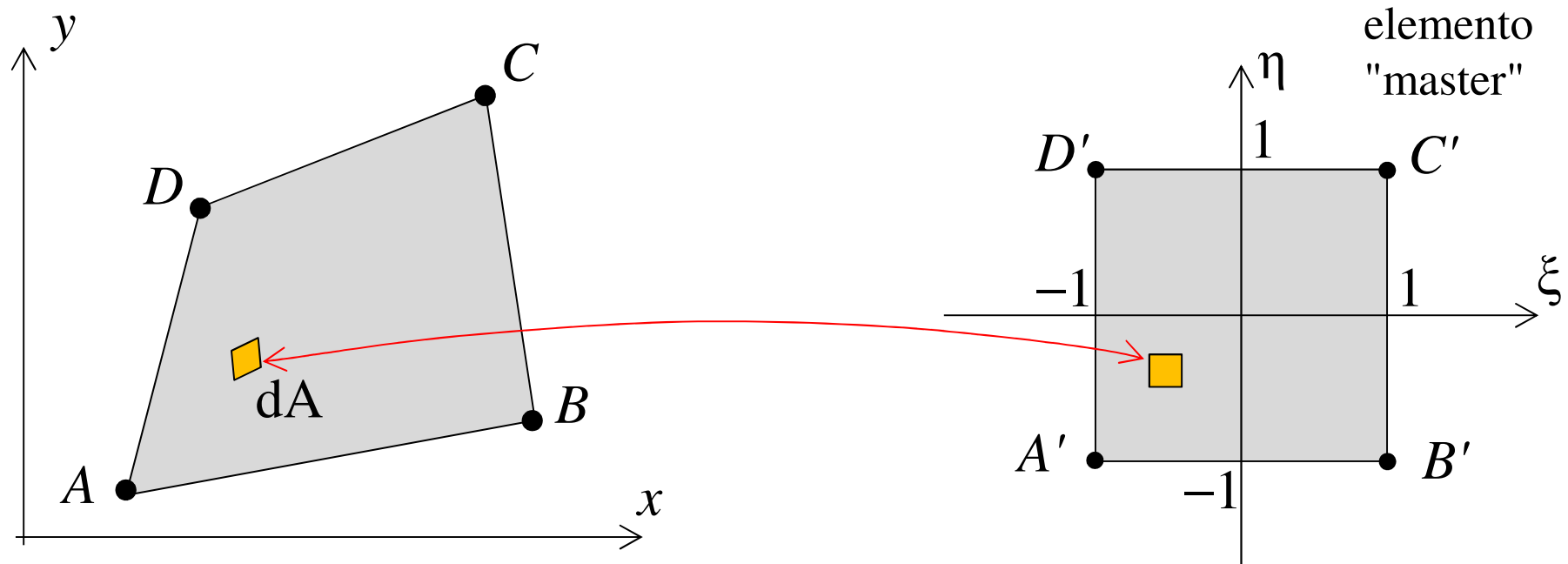
## Calcolo della matrice $\underline{\underline{C}}$



$$\begin{aligned}\underline{\underline{C}}_e &= \int_{V_e} c \rho \underline{\Psi}_e(\underline{\mathbf{x}}) \underline{\Psi}_e^T(\underline{\mathbf{x}}) dV = \int_{A_e} t_e c \rho \underline{\Psi}_e(\underline{\mathbf{x}}) \underline{\Psi}_e^T(\underline{\mathbf{x}}) dA = \\ &= \int_{-1}^1 \int_{-1}^1 t_e c \rho \underline{\varphi}_e(\underline{\xi}) \underline{\varphi}_e^T(\underline{\xi}) \overbrace{\left| \det(\underline{\underline{\mathbf{j}}}_e) \right| d\xi d\eta}^{dA}\end{aligned}$$

$t_e$  = spessore dell'elemento finito,      $A_e$  = area dell'elemento finito

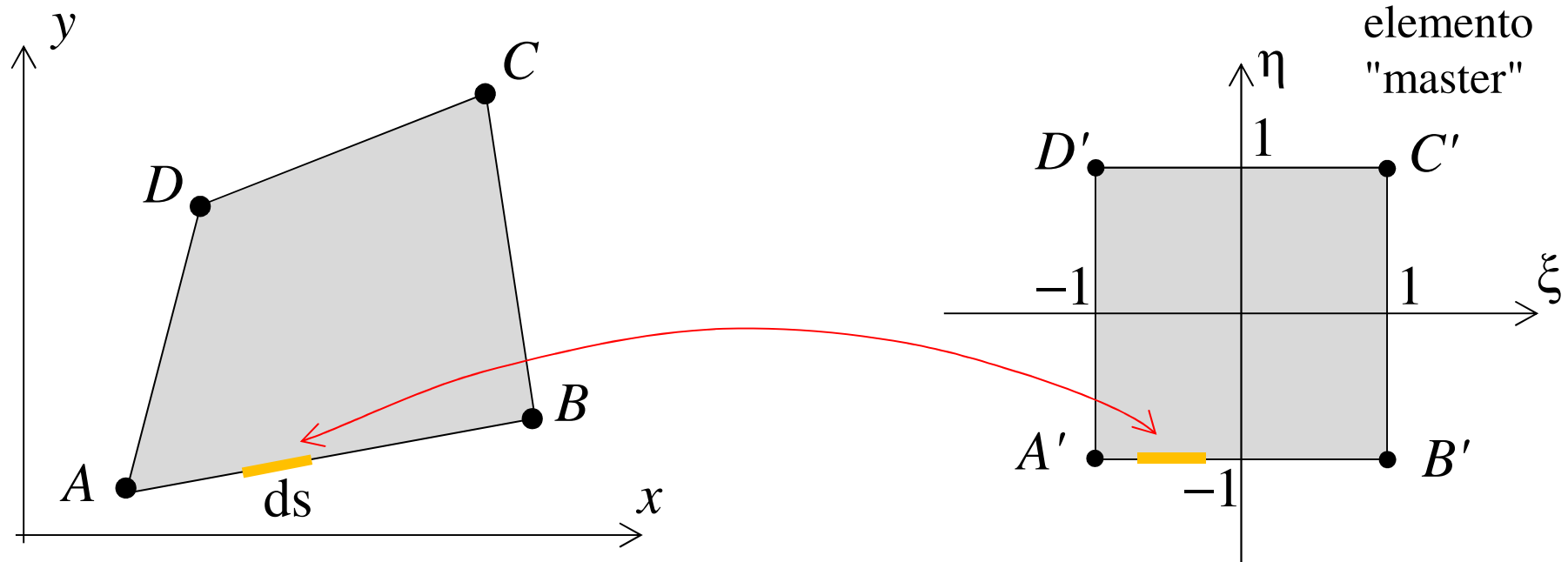
## Calcolo della matrice **K**



$$\begin{aligned}
 \underline{\underline{\mathbf{K}}}_e &= \int_{V_e} \left( \underline{\underline{\nabla}} \underline{\underline{\Psi}}_e^T(\underline{\underline{\mathbf{x}}}) \right)^T \underline{\underline{\mathbf{k}}} \underline{\underline{\nabla}} \underline{\underline{\Psi}}_e^T(\underline{\underline{\mathbf{x}}}) dV = \int_{A_e} t_e \left( \underline{\underline{\nabla}} \underline{\underline{\Psi}}_e^T(\underline{\underline{\mathbf{x}}}) \right)^T \underline{\underline{\mathbf{k}}} \underline{\underline{\nabla}} \underline{\underline{\Psi}}_e^T(\underline{\underline{\mathbf{x}}}) dA = \\
 &= \int_{-1}^1 \int_{-1}^1 t_e \underline{\underline{\mathbf{B}}}_e^T(\underline{\underline{\xi}}) \underline{\underline{\mathbf{k}}} \underline{\underline{\mathbf{B}}}_e(\underline{\underline{\xi}}) \left| \det(\underline{\underline{\mathbf{j}}}_e) \right| d\xi d\eta
 \end{aligned}$$



## Calcolo della matrice H

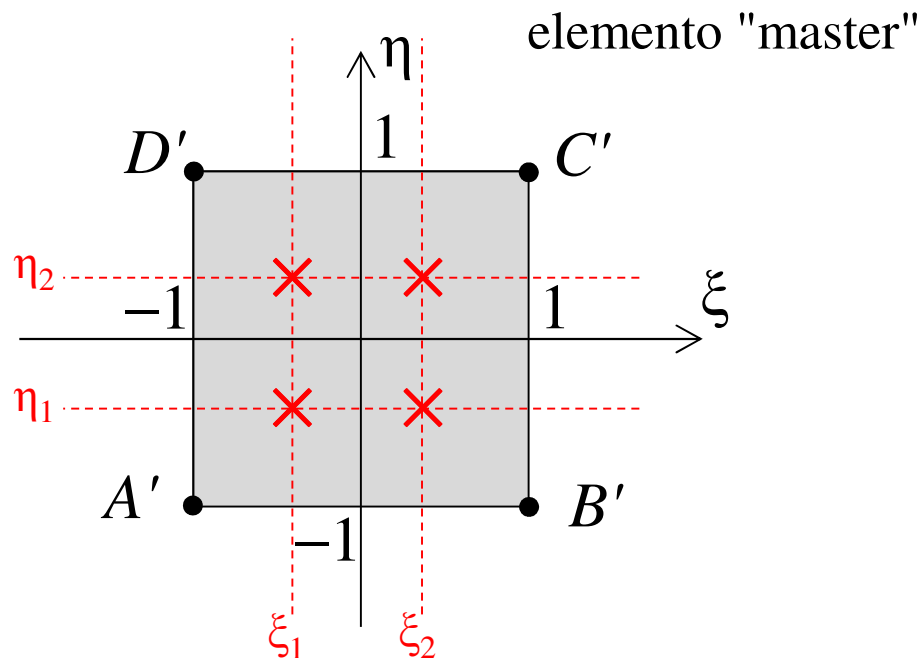


$$\underline{\underline{\mathbf{H}}}_e = \int_{S_h^e} h \underline{\underline{\Psi}}_e(\underline{\mathbf{x}}) \underline{\underline{\Psi}}_e^T(\underline{\mathbf{x}}) dS = \int_{\Gamma_h^e} t_e h \underline{\underline{\Psi}}_e(\underline{\mathbf{x}}) \underline{\underline{\Psi}}_e^T(\underline{\mathbf{x}}) ds =$$

$$= \int_{-1}^1 t_e h \underline{\underline{\varphi}}_e(\xi, -1) \underline{\underline{\varphi}}_e^T(\xi, -1) \overbrace{j_h d\xi}^{ds}, \quad j_h = \sqrt{\left(\frac{\partial x}{\partial \xi}\right)^2 + \left(\frac{\partial y}{\partial \xi}\right)^2}$$

## Integrazione numerica

Le matrici e, in modo analogo, i vettori possono essere calcolati mediante l'integrazione numerica, ad es. col metodo di Gauss.



$$\xi_1 = \eta_1 = -\frac{1}{\sqrt{3}}$$

$$\xi_2 = \eta_2 = +\frac{1}{\sqrt{3}}$$

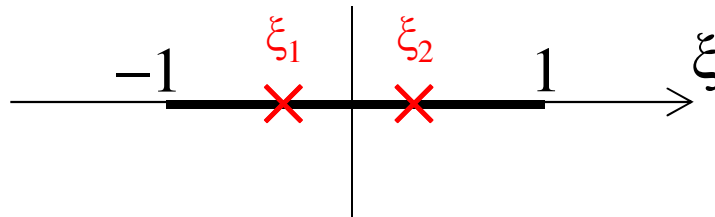
$$w_1 = w_2 = 1$$

$$\underline{\underline{\mathbf{K}}}_e = \int_{-1}^1 \int_{-1}^1 t_e \underbrace{\underline{\underline{\mathbf{B}}}_e^T \underline{\underline{\mathbf{k}}} \underline{\underline{\mathbf{B}}}_e \left| \det(\underline{\underline{\mathbf{j}}}_e) \right|}_{\underline{\underline{\mathbf{g}}}(\xi, \eta)} d\xi d\eta \cong \sum_{s=1}^2 \sum_{r=1}^2 w_s w_r \underline{\underline{\mathbf{g}}}(\xi_r, \eta_s)$$

## Integrazione numerica

Le matrici e, in modo analogo, i vettori possono essere calcolati mediante l'integrazione numerica, ad es. col metodo di Gauss.

elemento "master"



$$\xi_1 = -\frac{1}{\sqrt{3}}, \quad \xi_2 = +\frac{1}{\sqrt{3}}$$

$$w_1 = w_2 = 1$$

$$\underline{\underline{\mathbf{H}}}_e = \int_{-1}^1 t_e h \underline{\underline{\boldsymbol{\varphi}}}_e(\xi, -1) \underline{\underline{\boldsymbol{\varphi}}}_e^T(\xi, -1) \overbrace{j_h d\xi}^{ds} \cong$$

$$\cong \sum_{s=1}^2 w_s t_e h \underline{\underline{\boldsymbol{\varphi}}}_e(\xi_s, -1) \underline{\underline{\boldsymbol{\varphi}}}_e^T(\xi_s, -1) j_h(\xi_s, -1)$$

## Sistema risolvante

Da ultimo, utilizzando la classica regola di assemblaggio (in questo caso limitata ai numeri dei nodi, dato che per ogni nodo è definito un solo valore di temperatura) si pone:

$$\underline{\underline{T}}_e = \underline{\underline{A}}_e \underline{\underline{T}}, \quad \underline{\underline{F}}_e = \underline{\underline{A}}_e \underline{\underline{F}}$$

e si ottiene il sistema algebrico governante:

$$\begin{aligned} \underline{\underline{F}} \left( \sum_{e=1}^{N_{EF}} \underline{\underline{A}}_e^T \underline{\underline{C}}_e \underline{\underline{A}}_e \dot{\underline{\underline{T}}} + \sum_{e=1}^{N_{EF}} \underline{\underline{A}}_e^T \underline{\underline{K}}_e \underline{\underline{A}}_e \underline{\underline{T}} + \sum_{e=1}^{N_{EF}} \underline{\underline{A}}_e^T \underline{\underline{H}}_e \underline{\underline{A}}_e \underline{\underline{T}} \right) = \\ = \underline{\underline{F}} \sum_{e=1}^{N_{EF}} \underline{\underline{A}}_e^T \left( \dot{\underline{\underline{Q}}}_e - \bar{\underline{\underline{Q}}}_e + \underline{\underline{Q}}_\infty^e - \underline{\underline{Q}}_n^e \right) \quad \forall \underline{\underline{F}} \end{aligned}$$

cioè:

$$\underline{\underline{C}} \dot{\underline{\underline{T}}} + (\underline{\underline{K}} + \underline{\underline{H}}) \underline{\underline{T}} = \dot{\underline{\underline{Q}}} - \bar{\underline{\underline{Q}}} + \underline{\underline{Q}}_\infty - \underline{\underline{Q}}_n$$